

III-23 単一ポンプ槽の設計について

日本大学理工学部 正員 粟津清藏

この研究は単一ポンプますの設計についての2, 3の問題をもつて、実験を中心にして検討しポンプ場設計の資料とするのが目的である。この課題は一つの一連の研究の一部であるが、特にこの報告は水道施設基準を対象とした問題をもつて述べる。

施設基準によると『第342 ポンプます』1)ポンプますはポンプのすぐ下に位置直下に築造する事と、やむを得ない場合はその近くに築造しなければならない。2)流入口は乱れらずまゝが起らなければ位置に設けなければならぬ。以上二項目について述べてあるが、その解説として第二番目の項目について図-1のように構造としてしなければならないことが述べられてゐる。

この構造は管に空気が流入してはいけないために決まりたるもので、一般に二つ上り吸水管による渦についての現象は、例えば表面渦が発生する、あるいは空気の流入する限界フルード数について、次の関係があるものと推論される⁽²⁾

$$F(2/\sqrt{g_d}, Bh/d^2, f_e, L_s/d, h_s/d, C/d, B/d, \gamma/d) = 0 \quad (1)$$

$2/\sqrt{g_d}$: 吸水管のフルード数, Bh/d^2 : 吸水管の平均流速(流入流速)と吸水管の平均流速との比, f_e : 吸水管入口の損失水頭の原数, L_s/d , h_s/d : ポンプ槽の大きさを示す無次元量, C/d , B/d , γ/d : 吸水管入口のポンプ槽内の位置を示すもので管と水槽の側壁、端壁、底板からの距離を示す無次元量。

次に施設基準によるとポンプ槽への取水口の水深は別に制限がない。しかしもし水路の流れが射流であると、あたかもポンプ槽内の流れは常流となることを想定すれば、その場合には図-2に示すように跳水現象がある⁽³⁾から、ポンプ槽内の水面は非常に不安

Dimensions of the sump

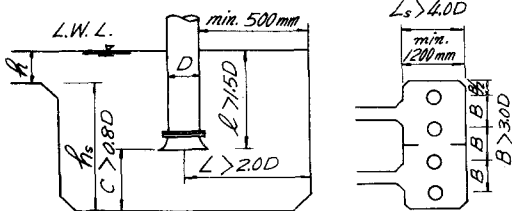


図-1

Hydraulic jump at an abrupt drop

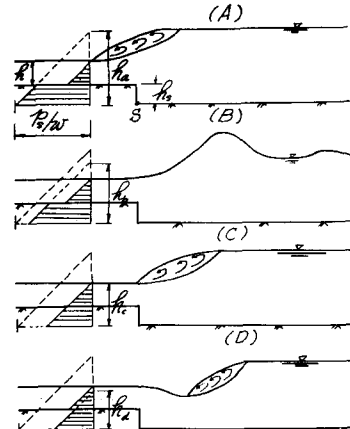


図-2

定となるものを考え、(1)式と(2)式を比較すると流入口の水深は限界水深より大きくなるか否かし、(1)式と(2)式を比較すると次の式が得られる、(2)の成り立つ限界境界にして現象が変わることとなる。

$$\frac{h_s}{d} > \left(\frac{\pi d}{4 B \sqrt{gd}} \right)^{\frac{2}{3}} \quad (2)$$

以下(1)式の変数がどのようになるか調べた結果、单一ポンプ槽を対象として実験を行ったが、ポンプ槽の幅は小さく方が経済的で、吸水管の入口とXの角が余り大きくなれば、しかも排水先水頭の原数値が小さい方が好ましく(3)式のベルヌーイ方程式を書き、次の図表の2行目の変数の中3つは同時に持つよ)89組の変数組合せについて実験を行った。

$$\frac{x^2}{(0.5d)^2} + \frac{y^2}{(a/15d)^2} = 1 \quad (3)$$

Xは管軸に平行、Yは管軸に直角な座標

行	B/d	h _s /d	L _s /d	C/d
1	2.0	1.0	4.0	0.5
2	2.5	1.5	5.0	0.8
3	3.0	2.0	6.0	1.0

すなはち $d=20$,
 $2.5, 3.0\text{cm}$ の管
 を流量調節用弁と
 2つたサイフオーレ
 に連結、流入口と
 所定の位置(C/d ,
 B/d , $Y/d=B/d$)
 に設置し、弁を
 徐々に開け、表面
 流れの発生、空気
 流入につれてそれ
 ぞれ測定を行って
 て次のような結果
 が得られた。

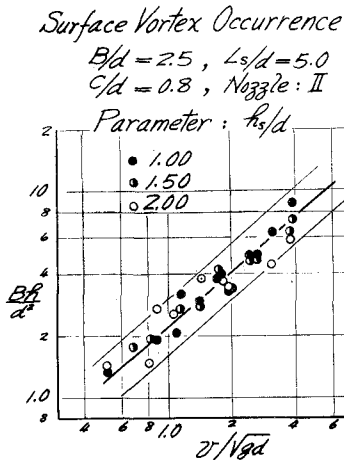


図 - 4

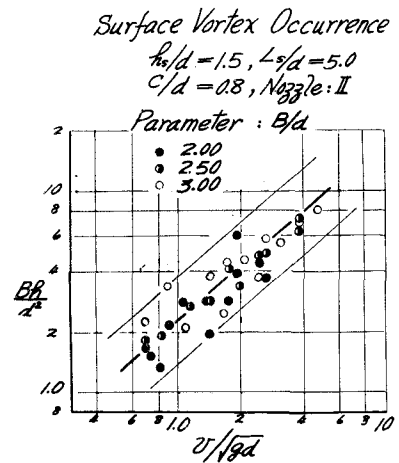


図 - 3

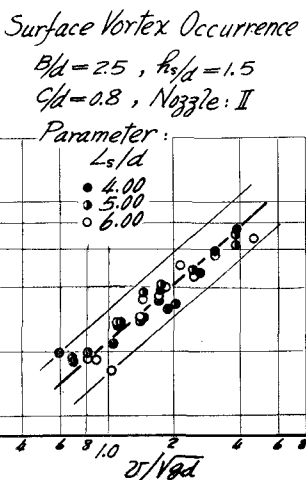
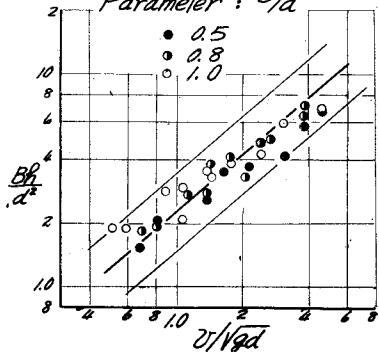


図 - 5

Surface Vortex Occurrence

$B/d = 2.5$, $R_s/d = 1.5$
 $L_s/d = 5.0$, Nozzle: II

Parameter: C/d



Surface Vortex Occurrence

$B/d = 2.0 \text{ to } 3.0$
 $C/d = 0.5 \text{ to } 1.0$
 $R_s/d = 1.0 \text{ to } 2.0$
 $L_s/d = 4.0 \text{ to } 6.0$
Nozzle: II

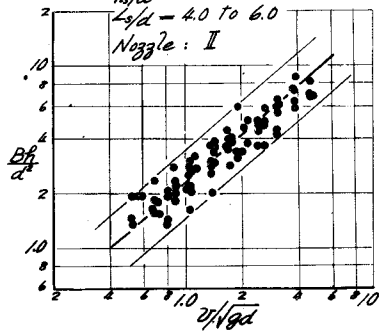


図 - 6

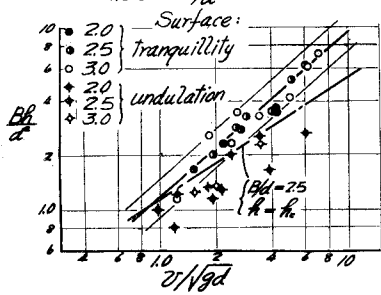
$$\frac{Bh}{d^2} = 3.4 F_r^{0.887} \quad (4)$$

この実験式は図-7 まことにして最も実用側を考慮した表面渦の発生ルーツを説明したものであるが、その限界も同図の限界内で適用されるべき論である。

Air-entrainment

$B/d = 1.5$, $L_s/d = 5.0$
 $C/d = 0.8$, Nozzle: II

Parameter: B/d



Air-entrainment

$B/d = 2.5$, $L_s/d = 5.0$
 $C/d = 0.8$, Nozzle: II

Parameter: R_s/d

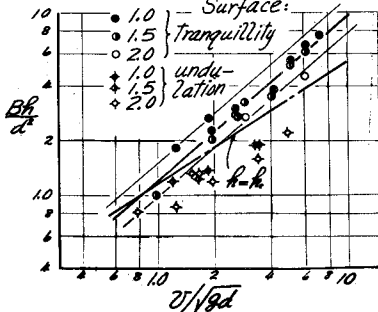


図 - 8

図 - 9

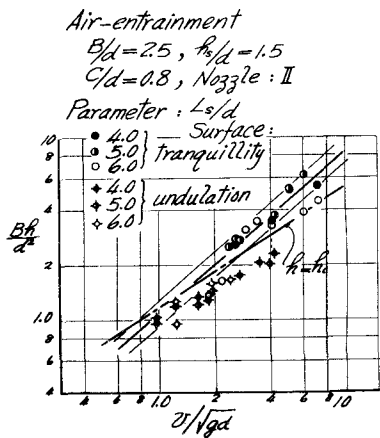


図 - 10

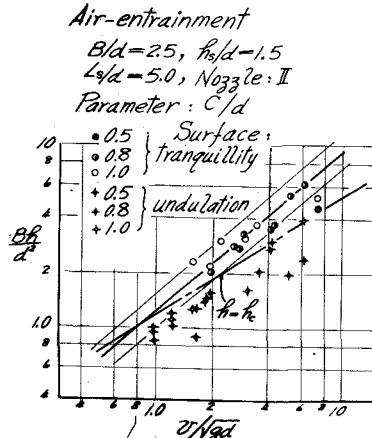


図 - 11

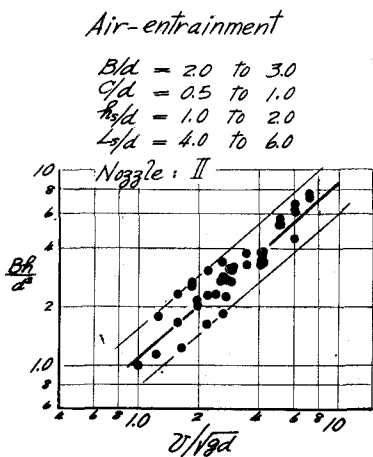


図 - 12

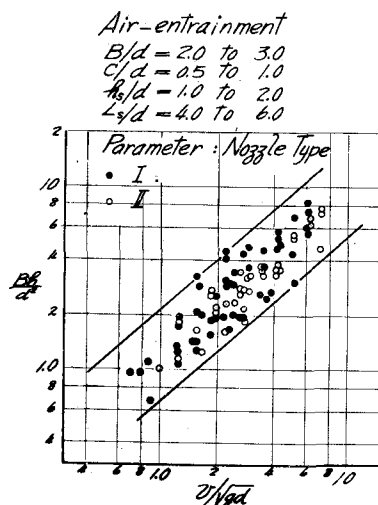


図 - 13

図-12上「最も安全側を考へた実験式」を用ひ次のとおりである。

$Bh/d^2 = 1.55 F_r^{0.887}$ 大丸(2)式の成立限界内にありことは勿論で、同図の限界より2つ(同様2)と3、すなは現象の細部より2つは講論略述である。

(1) 日本水道協会:「水道施設基準解説」 1958

(2) 粟津:「吸水管による渦流(2)(第2報)」 第10回応用力学連合講演会抄録集 昭和35年

(3) Moore, Morgan: "The Hydraulic Jump at an Abrupt Drop" Proc. of A.S.C.E. 1957

(4) 村、荒木、飯田:「堰堤放水管に関する研究(2)」 土木研究所報告 89号 昭和30年